



جذب و واجذب سرب در برخی از خاک‌های آهکی استان آذربایجان غربی

بهاره رجبی^۱- حبیب خداوردی‌لو^{۲*}- عباس صمدی^۳- میرحسن رسولی صدقیانی^۴

تاریخ دریافت: ۸۹/۷/۷

تاریخ پذیرش: ۹۰/۵/۱

چکیده

فراهمی فلزات سنگین به توزیع این فلزات بین فاز محلول و جامد خاک بستگی دارد و توسط هم‌دماهای جذب بیان می‌شود. در این پژوهش نمونه خاک سطحی (۰-۳۰ سانتی‌متر) متعلق به پنج زیرگروه از خاک‌های زراعی استان آذربایجان غربی انتخاب شد. هم‌دمای جذب سرب در خاک‌ها با به تعادل رساندن خاک با محلول‌هایی با غلظت‌های صفر، ۱۰۰، ۳۰۰، ۵۰۰، ۷۰۰ و ۱۳۰۰ میلی‌گرم سرب در لیتر از منبع نمک نیترات‌سرب و در محلول زمینه ۰/۰ مولار نیترات سدیم به دست آمد. کانی ایلاتیت، رس غالب زیرگروه‌های تیبیک اندواکوپتس (TE)، تیبیک کلسی‌زروپرپتس (TH) و تیبیک کلسی‌زروپرپتس (TC) و کانی اسمکتایت، رس غالب در زیرگروه‌های ورتیک اندواکوپتس (VE) و ورتیک کلسی‌زروپرپتس (VC) بود. در خاک‌های مختلف کربنات کلسیم معادل فقال (ACCE) از ۴/۳ تا ۷/۸ درصد، کربنات کلسیم معادل (CCE) از ۱۶/۲ تا ۴۵ درصد متغیر بودند. معادلات لانگمویر، فرونالیج و خطی به داده‌های جذب سرب برآشش یافته‌اند. مدل فرونالیج ($R^2 = 0/98 < R^2 = 0/99 < R^2 = 0/94$) برآش مناسبی با داده‌ها داشتند. مدل لانگمویر ($R^2 = 0/62$) تنها به برخی از خاک‌های مورد مطالعه، که عدمتا CCE کمی داشتند، برآشش یافت. همبستگی مثبت معنی‌داری بین CCE با حداکثر جذب سرب (b) و همچنین با پارامتر a فرونالیج ($P \leq 0/001$; $r = 0/62$; $P \leq 0/001$; $r = 0/78$; $P \leq 0/001$; $r = 0/84$; $P \leq 0/001$; $r = 0/85$) مشاهده شد. همبستگی مثبت معنی‌داری بین ضریب توزیع (K_{SD}) با ACCE ($P \leq 0/001$; $r = 0/62$) به دست آمد. مطالعات رگرسیونی چند متغیره گام به گام نشان داد که ۶۲ درصد تغییرات در پارامتر a فرونالیج و ظرفیت جذب سرب در خاک‌های آهکی، ناشی از فقال در این خاک‌ها به همراه ظرفیت جذب بالای آنها، امکان تشکیل فاز جامد رسوب به شکل کربنات سرب را تبیین می‌نماید. پیوندهای قوی و برگشت‌ناپذیر سرب در خاک‌های مورد مطالعه مشاهده شد. می‌توان نتیجه‌گیری کرد که رس و CCE مهمترین ویژگی‌های خاک در کنترل جذب سرب در خاک‌های مورد مطالعه هستند.

واژه‌های کلیدی: جذب و واجذب، رس، زیست‌فراهمی، سرب، کربنات کلسیم

موجودات زنده به یک نگرانی جدی تبدیل شده است. لیندزی (۱۶)، مقدار معمول سرب در خاک را ۲۰۰ میلی‌گرم بر کیلوگرم بیان کرد. مقدار مجاز سرب در خاک‌های کشاورزی تحت تیمار فاضلاب ۵۰-۳۰۰ میلی‌گرم بر کیلوگرم است که این مقدار در خاک‌های آهکی به دلیل کاهش حلالیت سرب، با افزایش pH، افزایش می‌یابد (۲۴). هم‌دماهای جذب، کاربردی گسترده در تعیین جذب و نگهداری مواد شیمیایی در خاک و ارزیابی و مدیریت مناطق آلوده دارند. همچنین پارامترهای مدل‌های هم‌دماهای عناصر و مدل‌های انتقال فلزات به کار می‌روند (۱۱). زیست‌فراهمی^۵ سرب در خاک به

مقدمه

آلودگی خاک به فلزات سنگین، خطراتی جدی برای اکوسیستم‌های طبیعی و سلامت انسان و دیگر موجودات می‌آفریند (۲۵). سرب یکی از آلودگی‌هایی گسترده خاک در اکثر مناطق است که از راه‌هایی گوناگون، از جمله نهشته‌های اتمسفری، دود اتومبیل‌ها، کاربرد پسماندهای صنعتی و لجن فاضلاب به خاک راه می‌یابد (۳۱). بنابراین، افزایش غلظت سرب در خاک و در نتیجه تهدید زیست‌بوم و

*- به ترتیب دانشجوی کارشناسی ارشد، استادیار، دانشیار و استادیار گروه مهندسی علوم خاک، دانشکده کشاورزی، دانشگاه ارومیه (Email: h.khodaverdiloo@urmia.ac.ir) - نویسنده مسئول:

مواد و روش‌ها

نمونه برداری و تعیین ویژگی‌های فیزیکی، شیمیایی و کانی‌شناسی خاکها

در این پژوهش، ۲۰ نمونه خاک سطحی (۰-۳۰ سانتی‌متر) متعلق به پنج زیر گروه ورتیک کلسی زرپتس (VC)، تیپیک اندواکوپتس (TE)، تیپیک هاپلوزرپتس (TH)، تیپیک کلسی زرپتس (TC) و ورتیک اندواکوپتس (VE) از خاک‌های زراعی استان آذربایجان غربی انتخاب شدند. خاک‌ها بعد از هوا خشک شدن، از الک ۲ میلی‌متری عبور داده شدند. برخی از ویژگی‌های فیزیکی و شیمیایی خاک‌ها از جمله بافت بهروش هیدرومتر (۹)، pH گل اشباع به روش پتانسیل سنجی، کربن آبی با روش والکی و بلک اصلاح شده (۲۴)، کربنات کلسیم معادل بهروش خنثی‌سازی با اسید کلریدیک (۱)، کربنات کلسیم معادل فعلی بهروش اگزالات آمونیوم (۶) و CEC کربنات کلسیم با اسید سدیم در pH=۷ (۲۶) (اندازه‌گیری شد. کانی-خاک بهروش استات سدیم در pH=۷ (۲۶) و با پراش پرتو ایکس انجام شد.

آزمایش‌های جذب و واجدب

برای مطالعه جذب سرب، ۲۵ میلی‌لیتر از محلول ۰/۰۱ مولار نیترات سدیم حاوی غلظت‌های صفر، ۱۰۰، ۳۰۰، ۵۰۰، ۷۰۰ و ۱۳۰۰ میلی‌گرم سرب در لیتر به صورت نیترات سرب به ۲/۵ گرم خاک خشک در لوله‌های سانتریفیو ۵۰ میلی‌لیتری افزوده شد. محلول ۰/۰۱ مولار نیترات سدیم برای تنظیم قدرت یونی محلول زمینه استفاده شد. غلظت‌های اولیه نسبتاً بالایی از سرب در این مطالعه به کار رفت، زیرا همانند مطالعه‌ای که توسط شاهین (۲۹) انجام شد، پس از آزمایشی مقدماتی دریافتیم که گستره غلظت‌های اولیه بالایی برای خاک‌های قلیایی مورد مطالعه - که ظرفیت بالایی برای جذب سرب دارند - ضروری است. پس از ۲۴ ساعت تکان دادن در دمای ۲۵ درجه سانتی‌گراد در شبکر انکوباتوردار، نمونه‌ها سانتریفیوژ و مایع رویی از کاغذ صافی گذرانده شد. این فرایند برای هر خاک و در هر غلظت در سه تکرار انجام گرفت. پس از بهم زدن نمونه‌ها غلظت سرب در عصاره‌ها توسط دستگاه جذب اتمی (۶۳۰۰ AA) اندازه‌گیری شد. مقدار سرب جذب شده توسط خاک از تفاوت غلظت سرب در محلول اولیه و محلول تعادلی محاسبه گردید.

برای مطالعه واجدبی سرب جذب شده توسط خاک، به هر کدام از نمونه خاک‌های باقی‌مانده از آزمایش جذب، در یک مرحله ۲۵ میلی‌لیتر از محلول زمینه‌ی نیترات سدیم ۰/۰۱ مولار (بدون سرب) افزوده شد. نمونه‌ها همانند مرحله جذب پس از ۲۴ ساعت تکان دادن در دمای ۲۵ درجه سانتی‌گراد، سانتریفیوژ، عصاره‌گیری و تجزیه شدند. مقدار سرب نگهداشت‌شده شده توسط خاک پس از آزمایش واجدب (مقدار

توزیع آن در بین فاز محلول و جامد خاک بستگی دارد و با هم‌دماهای جذب/واجدبی بیان می‌گردد (۲۳). فراهمی و توزیع فلزات سنگین در خاک به نوع فلز، نوع خاک، اسیدیته، ظرفیت تبادل کاتیونی (CEC)، فروانی نسبی و نوع کانی‌های رسی، فروانی مواد آلی، اکسیدهای آهن و منگنز و آلومنیوم، پتانسیل اکسایش - کاهش، و تراوشات ریشه‌ای در ریزوسفر، بستگی دارد (۲).

جذب سرب در خاک به سه شکل است: ۱) جذب ویژه توسط فازهای جامد که شامل جذب شیمیایی و تشکیل کمپلکس‌های درون‌کره‌ای و کمتر برگشت‌پذیر، ۲) جذب غیررویژه، شامل جذب الکترواستاتیک (تبادل یونی) و برگشت‌پذیر و تشکیل کمپلکس‌های نسبتاً پایدار برون‌کره‌ای با اجزای خاک و ۳) تشکیل فازهای رسوبی بسیار پایدار (۱۹). هم‌دماهای واجدب، نشان دهنده برگشت‌پذیری یا برگشت‌ناپذیری پیوندهای تشکیل شده بین سرب و اجزای خاک و لذا زیست‌فراهمی آن است (۵).

ویژگی‌های فیزیکو‌شیمیایی خاک، تاثیر زیادی بر جذب یک ماده شیمیایی توسط خاک دارند (۳۲). شکل غالب جذب سرب بر روی اکسیدهای آهن و منگنز و کانی‌ها، تشکیل کمپلکس‌های درون‌کره‌ای است، در کانی‌های رسی، جذب سرب فقط کمپلکس برون‌کره‌ای نبوده و ترکیبی از برون‌کره‌ای و درون‌کره‌ای است و به pH و قدرت یونی محلول بستگی دارد (۲۲). ویژگی‌های فیزیکو‌شیمیایی و کانی-شناسی خاک از جمله فروانی رس، اسیدیته، پتانسیل اکسایش - کاهش، فروانی نسبی کربنات‌کلسیم و فروانی اکسیدهای آهن و منگنز، عواملی مهم در تعیین جذب و واجدب یک فلز در خاک هستند (۲۰ و ۲).

کانی‌های کربناتی، از اجزای مهم خاک‌های آهکی هستند و توان بالای در جذب سطحی فلزات سنگین از جمله سرب و تعیین تحرک و زیست‌فراهمی آن دارند (۷ و ۱۸). در pH ۷/۵-۸/۵-۸ دلیل مقدار زیاد جذب سرب در خاک‌های آهکی می‌تواند تشکیل فاز رسوب کربنات-سرب باشد (۷ و ۲۷ و ۳۰).

در مقایسه با خاک‌های غیرآهکی، مطالعه‌ای اندک در مورد جذب سرب در خاک‌های آهکی انجام شده است (۷). بنابراین، اطلاعاتی اندک از ویژگی‌های جذب و واجدب سرب در خاک‌هایی با مقداری متفاوت کربنات‌کلسیم، ارتباط تحرک و فراهمی سرب با ویژگی‌های این خاک‌ها و تفاوت رفتار سرب در زیرگروه‌های مختلف خاک وجود دارد. اهداف این پژوهش عبارت بودند از: ۱) مطالعه رفتار جذب، واجدبی و پس‌ماند سرب در برخی از خاک‌های آهکی استان آذربایجان غربی، ۲) کمی کردن رفتار جذب و واجدبی سرب در این خاک‌ها، ۳) ارزیابی همبستگی پارامترهای جذب، واجدبی و پس‌ماند سرب با ویژگی‌های خاک و ۴) ایجاد مدل‌های رگرسیونی برای برآورد این پارامترها با استفاده از ویژگی‌های خاک.

فلز مورد نظر نداشته و لذا پارامتر β_1 قابل کاربرد نیست، استفاده شود. در این روش، ضریب پسماند (a_i) از میانگین نسبت مقدار فلز جذب و مقدار شده (q_{des}) بر حسب میلی‌گرم بر کیلوگرم به مقدار سرب جذب شده (q_s) بر حسب میلی‌گرم بر کیلوگرم در غلظت‌های اعمال شده محاسبه شد:

$$\alpha_i = \frac{\sum_{i=1}^n \left(q_{des} / q_s \right)}{n} \quad (5)$$

که در اینجا، $n = 1, \dots, i$ تعداد غلظت‌های اعمال شده در این مطالعه است. در رابطه فوق، اگر خاک فلز جذب شده را به طور برگشت‌ناپذیری در خود نگه دارد، مقادیر واجدب شده فلز (q_{des}) بسیار کمتر از مقادیر جذب شده (q_s) بوده و لذا مقدار a_i به صفر نزدیک‌تر و رفتار خاک پسماندی تر خواهد بود. به بیان دیگر، چنین خاکی توان بالایی در نامتحرك‌سازی سرب جذب شده دارد. بر عکس، مقدار a_i هر چه به یک نزدیک‌تر باشد بیانگر توان کمتر خاک در نامتحرك‌سازی سرب و رفتار غیرپسماندی تر خاک است. برای ارزیابی کارآیی مدل‌ها از ضریب تبیین (R^2) و جذر میانگین مربعات خطأ ($RMSE$) استفاده شد، به گونه‌ای که مدلی با R^2 بیشتر و $RMSE$ کمتر به عنوان مدل برتر در نظر گرفته شد. در این مطالعه $RMSE$ با معادله زیر محاسبه گردید:

$$RMSE = \left(\frac{SSE}{m-p} \right)^{0.5} \quad (6)$$

در اینجا، SSE مجموع مربعات خطأ، m تعداد مشاهدات و p تعداد پارامترهای موجود در مدل ارزیابی است.

همبستگی رفتار جذب و واجدب سرب با ویژگی‌های خاک و ایجاد معادلات رگرسیونی

همبستگی پارامترهای جذب و واجدب سرب با ویژگی‌های خاک با نرمافزار Statview انجام شد. به علت اهمیت کربنات‌کلسیم در جذب سرب در خاک‌های آهکی مورد مطالعه، خاک‌ها به دو گروه (هر گروه حاوی ۱۰ نمونه خاک) با درصد پایین کربنات‌کلسیم معادل ۱۱-۱۲٪ (درصد) و با درصد بالای کربنات‌کلسیم معادل ۳۰-۴۰٪ (درصد) تقسیم شدند. مقادیر میانگین پارامترهای معادلات هم‌دامای جذب برای این دو گروه از خاک‌ها در هر زیرگروه محاسبه و مقایسه گردید. برای این مقایسات از آزمون مقایسه میانگین جفتی (t-test) استفاده شد. ایجاد معادلات رگرسیونی با نرمافزار Statview و روش رگرسیون گام به گام^۶ و با گزینش پیش‌روندۀ^۷ انجام شد.

باقی‌مانده)، از تفاوت بین مقدار فلز جذب شده در مرحله جذب و مقدار فلز واجدب شده بدست آمد.

برازش داده‌های جذب و واجدب سرب به مدل‌های تجربی مدل‌های تجربی هم‌دامای لانگمویر^۱، فروندلیچ^۲ و خطی به داده‌ها برآذش داده شدند. شکل عمومی این مدل‌ها به ترتیب به گونه زیر است (۲۹):

$$q = \frac{(K_1 b C_e)}{(1 + K_1 C_e)} \quad (1)$$

$$q = a C_e^{1/n} \quad (2)$$

$$q = K_{SD} C_e \quad (3)$$

در این روابط C_e ، غلظت تعادلی سرب بر حسب میلی‌گرم بر لیتر؛ q ، مقدار سرب جذب شده (برای هم‌دامای جذب) و یا مقدار فلز باقی‌مانده در فاز جامد پس از مرحله واجدب (برای هم‌دامای واجدب) در واحد جرم خاک بر حسب میلی‌گرم بر کیلوگرم؛ b ، حداکثر جذب سرب توسط خاک بر حسب میلی‌گرم بر کیلوگرم و K_1 بر حسب لیتر بر میلی‌گرم (نشان‌دهنده انرژی جذب)، ثابت وابسته به انرژی جذب؛ $L^{1/n} mg^{(1-1/n)}$ (-) (نشان‌دهنده شدت جذب)^۳ و بر حسب a بر حسب kg^{-1} (نشان‌دهنده ظرفیت جذب)^۴ ثابت‌های تجربی مدل فروندلیچ وابسته به فرایند جذب و K_{SD} بر حسب لیتر بر کیلوگرم، ضریب توزیع مدل خطی می‌باشد. مقدار پسماند^۵ به دو روش بدست آمد. در روش نخست، ضریب پسماند (β_1) از نسبت مقدار پارامتر a مدل فروندلیچ در مرحله جذب (a_s) به مقدار آن در مرحله واجدب (a_{res}) بدست آمد (۱۵). همان‌گونه که در بالا توضیح داده شد، هم‌دامای واجدب و بنابراین پارامتر a در مرحله واجدب بر اساس مقدار سرب باقی‌مانده در فاز جامد پس از مرحله واجدب محاسبه گردید:

$$\beta_1 = \frac{a_s}{a_{res}} \quad (4)$$

در رابطه فوق، اگر خاک فلز جذب شده را به طور برگشت‌ناپذیری در خود نگه دارد، پارامترهای هم‌دامای جذب و واجدب مقادیری مشابه هم داشته و لذا مقدار β_1 به یک نزدیک‌تر و رفتار خاک پسماندی تر خواهد بود.

همچنین در این مطالعه روشی دیگر برای محاسبه شدت پسماند پیشنهاد گردید که می‌تواند در مواردی که مدلی بر داده‌ها برآذش نیافته و یا مدل فروندلیچ برآذش مناسبی با داده‌های جذب و واجدب

1- Langmuir

2- Freundlich

3- Sorption Intensity

4- Sorption Capacity

5- Hysteresis

نتایج و بحث

مقدار β_1 نزدیک به واحد و مقدار α_1 نزدیک به صفر بود (جدول ۱-۵) که بیانگر رفتار شدید پسماندی و جذب برگشت‌ناپذیر و بسیار پایدار سرب در خاک‌های مورد مطالعه است (۱۵).

هم‌دمای نمونه جذب سرب در زیرگروه‌های مختلف خاک‌های مورد مطالعه در شکل ۱ نشان داده شده است. در همه زیرگروه‌ها، به جز زیرگروه VE، هم‌دمای جذب سرب از دو بخش تشکیل شده است. بخش نخست هم‌دمای جذب که شبیه تندتر دارد، بیانگر جذب اختصاصی سرب در غلظت‌های تعادلی پایین و بخش دوم هم‌دمای جذب که شبیه ملايم‌تر دارد نشان دهنده جذب سطحی (تبادل یونی) در غلظت‌های تعادلی بالای سرب در خاک‌هاست. در زیرگروه VE تنها بخش جذب اختصاصی سرب وجود دارد، یعنی خاک هنوز توانایی جذب سرب را در مکان‌های اختصاصی جذب دارد. توانایی بالای خاک‌های این زیرگروه در جذب اختصاصی سرب، توسط مقادیر اندک و اجذب سرب که قبلاً بحث شد (جدول ۱-۵) نیز تایید می‌گردد.

ترتیب زیر در مقدار سرب جذب شده در زیرگروه‌های مختلف خاک‌های مورد مطالعه مشاهده شد: $TC < TH < VC < TE < VE$. زیرگروه VE بیشترین جذب سرب را نشان داد که می‌توان آن رابه مقدار زیاد رس و نوع رس نسبت داد. خاک‌های زیرگروه TC با اینکه دارای بیشترین مقدار کربنات کلسیم معادل بودند، کمترین جذب را داشتند. لذا با این که می‌توان یکی از دلایل احتمالی این امر را به مقدار پایین CEC و کربن آلی و مقدار و نوع رس در این زیرگروه (جدول ۱-الف و ب) – که موجب کاهش جذب تبدالی سرب می‌شوند – نسبت داد، توجیه آن نیاز به اطلاعاتی بیشتر از جمله فراوانی اکسیدهای آهن و آلومینیوم در خاک‌ها دارد. مطالعاتی چند نشان داده‌اند که سطوح اکسیدهای فلزی، مهم‌ترین سطوح خاک در کنترل تحرک فلزات در خاک هستند (۲۰).

پارامترهای جذب و اجذب سرب

مدل فرونالدیچ ($R^2 < 0.70$ و $RMSE = 859/6 \pm 294/9$) نشان داد که خاک‌های $<R^2 < 0.98$ ، مدل خطی ($RMSE = 1634/9 \pm 329/4$) و $<R^2 < 0.51$ و $RMSE = 1016/0 \pm 389/2$ برآش مناسبی با داده‌ها داشتند و مدل لانگمویر ($RMSE = 1016/0 < R^2 < 0.99$) به استثنای زیرگروه VE در بقیه زیرگروه‌ها برآش یافته.

آزمون مقایسه میانگین جفتی (t-test) نشان داد که خاک‌هایی حاوی کربنات کلسیم با درصد بالا، باعث افزایش معنی‌دار به ترتیب ۶۵ و ۹۱ درصد در میزان a در زیرگروه VE و TE و ۷۵ درصد کاهش در مقدار پارامتر b در زیرگروه TH شده است ($P \leq 0.001$). (جدول ۲).

جدول ۱ میانگین و انحراف معیار ویژگی‌های فیزیکوشیمیایی (۱-الف)، ترکیب نیمه‌کمی کانی‌های رسی (۱-ب) و مقادیر برازش یافته پارامترهای مدل‌های تجربی هم‌دمای جذب (۱-ج) و اجذب (۱-د) سرب را در زیرگروه‌های خاک‌های مورد مطالعه نشان می‌دهد. میانگین مقادیر کربنات کلسیم معادل و فعال در زیرگروه‌ها به ترتیب از $6/2$ تا 16 و از $4/3$ تا $7/8$ درصد، و کربن آلی از $1/09$ تا $1/61$ درصد و مقدار رس از 31 تا 45 درصد متغیر بودند. میانگین مقادیر CEC و pH خاک‌ها در زیرگروه‌های مختلف تعییراتی اندک داشتند (جدول ۱-الف). نسبت به سایر زیرگروه‌ها، کمترین مقدار کربنات کلسیم معادل در زیرگروه VE و TH، کربنات کلسیم فعال در زیرگروه TH، کربن آلی در زیرگروه VE و رس در زیرگروه TC و TE بود.

کانی غالب در خاک‌های زیرگروه‌های VE و VC، اسمکتایت و در سایر زیرگروه‌ها ایلاتیت بود (جدول ۱-ب). پارامتر a در K_{SD} زیرگروه VE بیشترین مقدار را داشت (جدول ۱-ج) که می‌توان آن را به درصد بالای رس در خاک‌های این زیرگروه نسبت داد. افزایش مقدار K_{SD} بیانگر نگهداری بیشتر فلز در فاز جامد و احتمالاً جذب اختصاصی آن است که منجر به کاهش زیست‌فرآهی فلز می‌گردد. مقادیر پایین K_{SD} بیانگر غلظت بیشتر فلز در محلول خاک و زیست‌فرآهی بیشتر آن است (۲). کمترین و بیشترین مقدار $1/n$ به ترتیب در زیرگروه‌های VC و VE بود (جدول ۱-ج). پارامتر $1/n$ نشان دهنده شدت جذب است و با افزایش شدت جذب یا $1/n$ میل پیوندی^۱ خاک با فلز کاهش می‌یابد (۳۵). در زیرگروه VC احتمالاً به دلیل مقادیر نسبتاً بالای کربنات کلسیم معادل و رس، شدت جذب $1/n$ کاهش و لذا میل پیوندی خاک با سرب افزایش یافته است. پارامتر $1/n$ از سویی نیز بیان گر ظرفیت بافری^۲ خاک است (۱۵) و می‌توان مقدار بالای ظرفیت بافری یا $1/n$ را در زیرگروه VE به مقدار زیاد رس و همچنین داشتن کانی اسمکتایت که بارهای منفی دائمی، سطح ویژه و CEC بالایی دارند، نسبت داد.

بیشترین مقدار K در زیرگروه TE بود که می‌توان آن را به کربنات کلسیم بالا و لذا انرژی بالای جذب سرب توسط خاک‌های این زیرگروه نسبت داد (جدول ۱-ج). بیشترین مقدار α و β در زیرگروه TC و کمترین مقدار آنها در زیرگروه VE مشاهده شد.

کم بودن مقدار α را می‌توان بیانگر قوی بودن پیوندهای سرب جذب شده و در نتیجه واجذب شدن کمتر سرب به فاز محلول و افزایش رفتار پسماندی دانست (رجوع شود به توضیحات معادله ۵) و لذا احتمالاً در زیرگروه VE به علت بالا بودن رس و جذب اختصاصی، α کاهش و شدت پسماند افزایش یافته است. در تمامی خاک‌ها،

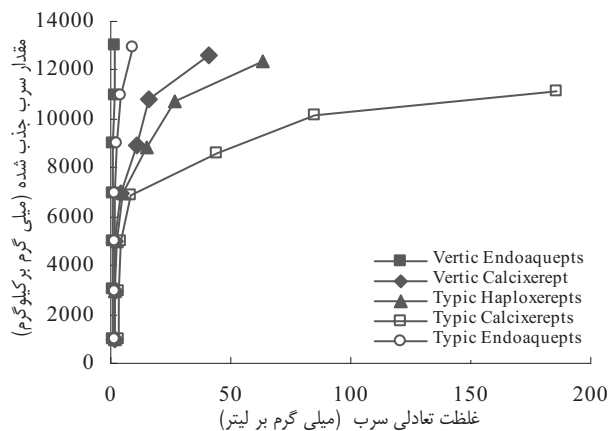
1- Binding affinity

2- Buffering capacity

جدول ۱- مقادیر میانگین انحراف معیار ویژگی‌های فیزیکوشیمیایی خاک‌ها (الف)، کانی‌شناسی خاک‌ها (الف) و مقادیر برازش یافته پارامترهای مدل‌های همدماهی لانگمویر (b و K_{SD})، فروندلیچ (n و a) و خطی (K_1) بر داده‌های جذب (ج) و واجذب (د) سرب در خاک‌های مورد مطالعه

Typic Endoaquepts	Typic Calcixerepts	Typic Haploxerepts	Vertic Calcixerupts	Vertic Endoaquepts	(الف) ویژگی‌های فیزیکوشیمیایی خاک
۲۷ ۳/۴	۲۸ ۵/۶	۳۱ ۷/۲	۳۰ ۶/۱	۲۹ ۱/۱	(cmol _c kg ⁻¹) CEC
۱/۶ ۰/۶	۱/۴ ۱/۰	۱/۳ ۰/۸۷	۱/۳ ۰/۳۵	۱/۰۹ ۰/۰۹۵	(%) OC
۱۵ ۷/۱	۱۶ ۱۰	۶/۹ ۵/۹	۱۳ ۱۲	۶/۲ ۳/۱	(%) CCE
۳۳ ۹/۱	۳۱ ۱۸	۴۰ ۷/۰۴	۳۹ ۱۶	۴۵ ۵/۳	(%) Clay
۷/۵ ۰/۱۷	۷/۶ ۰/۲۸	۷/۴ ۰/۲۵	۷/۵ ۰/۰۲۵	۷/۳ ۰/۰۴۲	(۰/۰۱M CaCl ₂) pH
۷/۰۵ ۲/۲	۷/۸ ۳/۵	۳/۴ ۱/۵	۵/۹ ۴/۶	۶/۵ ۱/۴	(%) ACCE
(ب) کانی‌شناسی خاک					
۴۰	۷۰	۶۹	۲۵	۳۰	ایلایت (%)
۳۵	۱۹	۱۵	۳۱	۲۹	کلرایت + کائولینایت (%)
۲۵	۱۱	۱۶	۴۴	۴۱	اسمکتایت (%)
(ج) پارامترهای مدل‌های همدماهی جذب					
۱۴۹۵ ۲۱۷۰	۱۸۲۴ ۱۷۲۹	۳۴۰۷ ۱۷۶۸	۴۵۴۷ ۳۵۳	۵۱۴۹ ۳۵۶۴	(L ^{1/n} mg ^(1-1/n) kg ⁻¹) a
۰/۸۱ ۰/۸۱	۱/۵ ۱/۹	۱/۷ ۱/۱	۳/۷ ۰/۸۲	۰/۶۷ ۰/۴۳	(-) n
۱۶۶۶۶ ۰	۱۶۲۵۰ ۵۳۰۳	۱۷۸۵۷ ۶۱۸۵	۱۴۲۸۵ ۰	-	(mg kg ⁻¹) b
۰/۳۰ ۰	۰/۰۹۳ ۰/۰۴۵	۰/۲۵ ۰/۱۳	۰/۱۷ ۰/۰۵۸	-	(L mg ⁻¹) K_l
۱۸۵۷ ۳۴۷	۱۵۱۳ ۷۱۸	۱۸۷۶ ۱۰۰۵	۱۰۹۰ ۸۱	۴۹۳۲ ۹۷۷	(L kg ⁻¹) K_{SD}
(د) پارامترهای مدل‌های همدماهی واجذب					
۱۶۱۰ ۲۰۹۷	۱۸۰۴ ۱۷۵۰	۳۶۲۹ ۱۵۶۷	۴۰۴۹ ۳۴۹	۷۱۸۸ ۶۸۵	(L ^{1/n} mg ^(1-1/n) kg ⁻¹) a
۰/۸۴ ۰/۷۹	۱/۶ ۲/۰۱	۱/۹ ۱/۲	۳/۷ ۰/۸۲	۱/۰۳۲ ۰/۰۷۵	(-) n
۱۶۶۶۶ ۰	۱۵۵۵۵ ۶۲۸۵	۱۵۵۹۵ ۳۹۱۷	۱۳۶۹۰ ۱۰۳۰	-	(mg kg ⁻¹) b
۰/۳۰ ۰	۰/۱۱ ۰/۰۰۹	۰/۳۱ ۰/۰۲۱	۰/۲۲ ۰/۰۴۶	-	(L mg ⁻¹) K_l
۲۶۵۵ ۵۲۲	۲۰۶۳ ۱۳۱۰	۲۰۶۷ ۱۲۳۵	۴۴۴ ۲۸۰	۶۷۱۷ ۸۲۴	(L kg ⁻¹) K_{SD}
۰/۰۰۸۱ ۰/۰۰۲	۰/۰۰۹۲ ۰/۰۰۱	۰/۰۰۶۲ ۰/۰۰۳	۰/۰۰۴۱ ۰/۰۰۱	۰/۰۰۲۸ ۰/۰۰۲	(-) α_i
۰/۸۹ ۰/۲۴	۱/۵۸ ۱/۲۹	۰/۸۸ ۱/۲۰۶	۱ ۰/۰۰۱	۰/۶۹ ۰/۴۲	(-) β_i

CEC، ظرفیت تبادل کاتیونی؛ OC، کربن آلی؛ CCE، کربنات کلسیم معادل؛ ACCE، کربنات کلسیم فعال؛ b ، حداکثر جذب؛ K_1 ، انرژی پیوند؛ a ، ثابت‌های معادله فروندلیچ؛ K_{SD} ، ضریب توزیع خطی؛ β_i و α_i ، ضرایب پسماند که به ترتیب با معادلات ۴ و ۵ محاسبه شده‌اند.



شکل ۱- هم‌دماهی نمونه جذب سرب در زیرگروه‌های مختلف خاک‌های مورد مطالعه

شد (جدول ۳). همبستگی مثبت و معنی‌داری بین پارامتر b با کربنات‌کلسیم معادل و فعال مشاهده شد (جدول ۳). نتایج مشابهی توسط پژوهشگران دیگر گزارش شده است (۷ و ۱۸). کربنات‌های خاک، مکان‌های اختصاصی برای جذب و نگهداشت سرب دارند و در خاک‌های مناطق خشک، کانی‌های کربناتی می‌توانند با تشکیل کمپلکس‌های درون‌کره‌ای و جذب فلزات آن‌ها را نامتحرك کنند (۲۷). همبستگی مثبت و معنی‌داری بین K_{SD} با درصد رس، کربنات‌کلسیم فعال و CEC مشاهده شد (جدول ۳). هارتر و نایدو (۱۲) گزارش کردند که همبستگی معنی‌دار جذب فلزات با CEC قابل انتظار است، زیرا فلزات کاتیونی به شکل کمپلکس تبادلی در خاک جذب می‌شوند. سرانو و همکاران (۲۸) بیان کردند که خاک‌هایی با درصد بالای رس و pH قلیایی، ظرفیت بالایی برای جذب سرب دارند. با افزایش pH، حلالیت فلزات کاتیونی در خاک کاهش می‌یابد (۱۳). با افزایش pH، بارهای وابسته به pH نیز افزایش می‌یابد، از این‌رو جذب فلز توسط کانی‌های رسی ۱:۱ که از عوامل وابسته به pH خاک هستند افزایش می‌یابد (۳۳). همبستگی منفی و معنی‌دار بین α_i با کربنات‌کلسیم معادل، کربن آلی و رس مشاهده شد (جدول ۳). معادلات رگرسیونی در جدول ۴ فهرست شده‌اند. مطالعات رگرسیونی گام به گام نشان داد که ۶۲ درصد تغییرات در پارامتر a و $P \leq 0.001$; $r = -0.62$; P تبیین می‌شود (جدول ۴). در خاک‌های آهکی حضور کربنات‌کلسیم به‌علت سطح فعال و مقدار زیاد بارهای منفی سطح کربنات‌های، ظرفیت جذب را به مقدار زیادی افزایش می‌دهد. نتایج مشابهی توسط پژوهشگران دیگر گزارش شده است (۷ و ۱۸).

مقدار پارامتر b در زیرگروه TH به‌علت کم بودن کربنات‌کلسیم، خاک‌ها توانسته‌اند به حداقل جذب برسند. به عبارت دیگر مکان‌های فعال و اختصاصی برای جذب سرب اندک بوده و سریعاً اشغال شده است.

در جدول ۳ ضرایب همبستگی ساده (r) بین ویژگی‌های مختلف فیزیکوشیمیابی خاک‌ها (الف) و بین ویژگی‌های فیزیکوشیمیابی خاک‌ها با پارامترهای مدل‌های هم‌دماهی جذب و واجذب لاتگموبر، فروندلیچ و خطی (ب) نشان داده شده است. پارامتر a همبستگی مثبت و معنی‌داری با کربنات‌کلسیم معادل ($0.001 \leq P \leq 0.078$; $r = 0.78$) و فعال ($0.001 \leq P \leq 0.074$; $r = 0.74$) و pH ($0.001 \leq P \leq 0.065$; $r = 0.65$) و همبستگی منفی و معنی‌داری با کربن آلی ($0.001 \leq P \leq 0.068$; $r = -0.68$) داشت (جدول ۳). برهم‌کنش کانی‌های رسی و مواد آلی می‌تواند جذب فلزات در اجزای خاک را به شدت تحت تأثیر قرار دهد. این برهم‌کنش‌ها از طریق مکان‌های تبادلی و گروههای عامل هیدروکسیل و کربوکسیل موجود در این اجزا صورت می‌گیرد (۲۰).

پژوهشگران در مطالعه خاک‌های آهکی بیان کردند خاک‌یکی با کربنات‌کلسیم زیاد دارای مقدار a بیشتری است در نتیجه ظرفیت جذب در این خاک‌ها نسبت به خاک غیرآهکی، بسیار بیشتر است که می‌تواند به‌علت تشکیل رسوب کربنات سرب باشد (۷). pH نقشی مهم در جذب فلزات سنگین بازی می‌کند، به‌طوری‌که مستقیماً حلایق هیدروکسیدهای فلزی، کربنات‌ها و فسفات‌های فلز را کنترل می‌کند (۳). با افزایش pH، نگهداری فلزات کاتیونی بر روی سطوح فعال خاک از طریق جذب، کمپلکس درون‌کره‌ای و رسوب افزایش می‌یابد (۱۸). یوان و لاوکولیچ (۳۴) گزارش کردند pH و میزان ماده آلی خاک بر a فروندلیچ اثر می‌گذارد. همبستگی منفی و معنی‌داری بین ضریب n با کربنات‌کلسیم معادل و فعال و درصد رس مشاهده

جدول ۲- مقادیر میانگین پارامترهای مدل‌های همدمای جذب سرب (معادلات ۱ تا ۳) و درصد تغییرات مقادیر پارامترها پس از گروه‌بندی خاک‌ها بر اساس درصد کربنات کلسیم معادل (CCE) (خاک‌هایی با CCE بالا ۱۲٪ تا ۳۰٪) و خاک‌هایی با CCE پایین (۱۱٪ تا ۰٪) در زیرگروه‌های مختلف خاک‌های مورد مطالعه

K_{SD} (L kg ⁻¹)	K_l mg (L ⁻¹)	b (mg kg ⁻¹)	n (-)	a (L ^{1/n} mg ^(1-1/n) kg ⁻¹)	
<i>Vertic Endoaquepts</i>					
۴۲۴۰	-	-	۰/۳۵	۲۶۴۷	بالا CCE
۵۶۲۳	-	-	۰/۹۷	۷۶۸۹	پایین CCE
۲۴	-	-	۶۳**	۶۵***	درصد تغییرات
<i>Vertic Calcixerupts</i>					
۱۰۰۵	۰/۱۷	۱۴۲۸۴	۳/۲	۴۳۱۳	بالا CCE
۱۱۳۲	۰/۱۷	۱۴۲۸۵	۳/۹	۴۶۶۴	پایین CCE
۱۱	۰/۰۰	۰/۰۰۷۱	۱۷	۹۹	درصد تغییرات
<i>Typic Haploxerupts</i>					
۲۳۹۸	۰/۴	۲۵۰۰۰	۱/۱	۳۲۹۰	بالا CCE
۱۳۵۳	۰/۱۷	۱۴۲۸۵	۲/۳	۳۵۲۵	پایین CCE
-۷۷	-۱۳۵	-۷۵	۵۲	۶/۶	درصد تغییرات
<i>Typic Calcixerupts</i>					
۱۹۷۶	-	-	۰/۴۴	۶۷۵	بالا CCE
۹۴۳	۰/۱۰۲	۱۷۴۹۹	۲/۷۵	۳۳۸۳	پایین CCE
-۱۰۹	-	-	۸۷	۸۰	درصد تغییرات
<i>Typic Endoaquepts</i>					
۱۸۰۱	-	-	۰/۴۱	۴۱۸	بالا CCE
۲۰۲۵	۰/۲۹	۱۶۶۶۵	۱/۹	۴۷۲۷	پایین CCE
۱۱	-	-	۷۸**	۹۱**	درصد تغییرات

*، ** و ***: به ترتیب معنی دار در سطح احتمال ۰/۰۵ و P≤۰/۰۱؛ P≤۰/۰۰۱ و P≤۰/۰۰۰۱

جدول ۳- ضرایب همبستگی ساده (r) بین ویژگی‌های مختلف فیزیکوشیمیایی خاک‌ها (الف) و بین ویژگی‌های فیزیکوشیمیایی خاک‌ها با پارامترهای مدل‌های همدمای جذب و واجذب لانگمویر (b) و K_l ، فروندلیچ (n) و خطی (K_{SD}) و پارامترهای واجذب (ب)

(الف)

CCE (%)	Clay (%)	CEC (cmol _c kg ⁻¹)	ACCE (%)	pH (۰/۰۱ M CaCl _۲)	
-۰/۱۲***	۰/۵۶*	۰/۵۸*	۰/۷۷***	-۰/۵۴*	(%) OC
۰/۶۰*	۰/۵۸*	۰/۸۰***	۰/۸۰***	۰/۸۰***	(%) CCE
		۰/۸۱***	۰/۸۰**	-۰/۳۹	(%) Clay
			۰/۸۳***	۰/۵۷*	(cmol _c kg ⁻¹) CEC
				۰/۶۱**	(%) ACCE

$(L^{1/n} mg^{(1-1/n)} kg^{-1})$	n (-)	K_l ($L mg^{-1}$)	b ($kg mg^{-1}$)	K_{SD} ($L kg^{-1}$)		$\alpha_i (-)$	$\beta_i (-)$
				جذب	واجذب		
-۰/۶۸***	-۰/۷۰*	-۰/۶۴***	-۰/۶۴***	-۰/۶۴*	-۰/۶۴*	-۰/۶۴*	-۰/۶۴*
-۰/۷۸***	-۰/۷۰*	-۰/۷۰***	-۰/۷۰***	-۰/۷۰*	-۰/۷۰*	-۰/۷۰*	-۰/۷۰*
-۰/۷۴*	-۰/۷۳*	-۰/۷۴**	-۰/۷۴**	-۰/۷۴*	-۰/۷۴*	-۰/۷۴*	-۰/۷۴*
-۰/۷۷*	-۰/۷۳*	-۰/۷۳**	-۰/۷۳**	-۰/۷۳*	-۰/۷۳*	-۰/۷۳*	-۰/۷۳*
-۰/۷۴***	-۰/۷۳***	-۰/۷۴***	-۰/۷۴***	-۰/۷۴***	-۰/۷۴***	-۰/۷۴***	-۰/۷۴***
-۰/۷۵***	-۰/۷۴***	-۰/۷۴***	-۰/۷۴***	-۰/۷۴***	-۰/۷۴***	-۰/۷۴***	-۰/۷۴***
-۰/۷۶***	-۰/۷۴***	-۰/۷۴***	-۰/۷۴***	-۰/۷۴***	-۰/۷۴***	-۰/۷۴***	-۰/۷۴***
-۰/۷۵***	-۰/۷۴***	-۰/۷۴***	-۰/۷۴***	-۰/۷۴***	-۰/۷۴***	-۰/۷۴***	-۰/۷۴***

*: ترتیب معنی‌دار سطح احتمال $P \leq 0.05$ و **: $P \leq 0.01$ و ***: $P \leq 0.001$ و ****: $P \leq 0.0001$.

جدول ۴- معادلات رگرسیونی ایجاد شده با روش گام به گام برای برآورد پارامترهای مدل‌های هم‌دمای جذب (معادلات ۱ تا ۳) و پارامترهای

پسمند (معادلات ۴ و ۵) با ویژگی‌های خاک

معادلات رگرسیونی ایجاد شده	R^2
$a (L^{1/n} mg^{(1-1/n)} kg^{-1}) = 50.57 - 22.7 CCE (\%)$.0/.82***
$n (-) = 4/6 - 0/51 ACCE (\%)$.0/.81***
$n (-) = 4/8 - 0/43 ACCE (\%) - 0/49 OC (\%)$.0/.83***
$b (mg kg^{-1}) = 47.82 + 29.72 ACCE (\%)$.0/.81**
$K_i (L mg^{-1}) = -0/0.29 + 0/0.08 Clay (\%)$.0/.66*
$K_{SD} (L kg^{-1}) = 52.8 + 16.5 ACCE (\%)$.0/.53**
$K_{SD} (L kg^{-1}) = -57.48 + 11.8 ACCE (\%) + 8.66 pH$.0/.60**
$K_{SD} (L kg^{-1}) = -8.087 + 11.5 ACCE (\%) + 12.38 pH - 28.0 OC (\%)$.0/.68**
$\beta_i (-) = -0/0.18 + 0/0.21 ACCE (\%)$.0/.39**
$\beta_i (-) = -0/0.46 + 0/0.19 ACCE (\%) + 0/0.14 Clay (\%)$.0/.42*
$\beta_i (-) = -8/1 + 0/0.18 ACCE (\%) + 0/0.17 Clay (\%) + 1/0.1 pH$.0/.46*
$\alpha_i (-) = 0/0.13 - 1/7 \times 10^{-4} Clay (\%)$.0/.22**
$\alpha_i (-) = 0/0.19 - 1/5 \times 10^{-4} Clay (\%) - 2/4 \times 10^{-4} CEC (cmol_c kg^{-1})$.0/.57**
$\alpha_i (-) = 0/0.20 - 1/4 \times 10^{-4} Clay (\%) - 1/9 \times 10^{-4} CEC (cmol_c kg^{-1}) - 3/6 \times 10^{-4} CCE (\%)$.0/.60**

 $P \leq 0.001$ و $P \leq 0.05$ و $P \leq 0.01$ ؛ *** و ** به ترتیب معنی دار در سطح احتمال .

پسمند سرب

با توجه به آهکی بودن خاک‌های مورد مطالعه، مقدار واجذب سرب بسیار اندک بود به گونه‌ای که مقادیر β_i نزدیک به واحد و مقادیر α_i نزدیک به صفر بود (جدول ۱-د) که بیانگر رفتار شدید پسمندی و جذب برگشت‌ناپذیر و بسیار پایدار سرب در خاک‌های مورد مطالعه است (۱۵). مقدار اندک واجذب سرب را می‌توان به درصد بالای کربنات‌کلسیم معادل (۰-۳۰ درصد) و رس (۴۵-۳۱) درصد نسبت داد (جدول ۱-الف). همانگونه که در معادلات رگرسیونی (جدول ۴) نیز مشاهده می‌شود، پارامترهای α_i و β_i هر دو تحت تاثیر رس و کربنات‌کلسیم معادل (و بویژه جزء فعل آن) هستند. با افزایش رس، ظرفیت تبادل کاتیونی و کربنات‌کلسیم معادل، مقدار α_i کاهش یافته (به صفر نزدیک شده) و مقدار β_i افزایش یافته (جدول ۴) و به دیگر بیان شدت پسمند افزایش می‌یابد (رجوع شود به توضیحات معادله ۴ و ۵). در غلظت‌های پایین (۰-۱۰۰ میلی‌گرم بر لیتر)، مقدار سرب واجذب شده کمتر از ۱۰ درصد سرب جذب شده بود که می‌توان آن را به تشکیل احتمالی کمپلکس‌های درون‌کره‌ای یا جذب در مکان‌های اختصاصی نسبت داد (۲۰). در غلظت‌های بالاتر (۱۰۰-۱۳۰۰ میلی‌گرم بر لیتر)، احتمالاً سرب در مکان‌های غیراختصاصی یا مکان‌های تبادلی جذب می‌شود (۲۳) و لذا مقدار سرب واجذب شده افزایش یافت و به حدود

۶۱ درصد تغییرات در پارامتر n و شدت جذب سرب؛ ۵۳ درصد تغییرات در K_{SD} و توزیع سرب در فازهای خاک؛ ۸۱ درصد تغییرات در حداکثر جذب سرب (b) و ۳۹ درصد تاثیر در β_i در خاک‌های آهکی توسط کربنات‌کلسیم فعال تبیین گردید (جدول ۴). ۸۱ درصد تغییرات در K_i و انرژی پیوند سرب در خاک‌های آهکی، توسط درصد رس خاک تبیین گردید (جدول ۴).

K_i مدل لانگمویر به انرژی پیوند سرب جذب شده بر سطوح خاک، ارتباط دارد. انرژی پیوند سرب جذب شده بر سطوح خاک، احتمالاً در خاک آهکی نسبت به خاک غیرآهکی بیشتر است. زیرا در خاک غیرآهکی، سرب پیوند ضعیفتری با سطح خاک دارد و برای گیاهان زیست‌فراهم‌تر است. به بیان دیگر در خاک‌های آهکی، چون مکان‌های تبادلی جذب سرب بر روی کربنات‌کلسیم با بار منفی زیاد، فعال‌تر هستند، بنابراین انرژی پیوند بیشتری نیز دارند. همچنین بهعلت زیاد بودن مکان‌های تبادلی در کربنات، فقط درصد اندکی از کل مکان‌های جذبی توسط سرب اشغال شده است (۷). مطالعات رگرسیونی چندمتغیره گام به گام نشان داد که رس بیشترین تاثیر را بر α_i داشت (جدول ۴). واجذب سرب در غلظت‌های پایین کم بود، که می‌تواند بهعلت جذب ویژه سرب توسط کانی‌های رسی، بویژه کاٹولینایت باشد. همچنین شاعر یونی زیاد و شاعر هیدراته کم سرب نیز در جذب برگشت‌ناپذیر آن موثر است (۲۳).

خاک‌های مورد مطالعه رقتارهای متفاوت جذب سرب مشاهده شد. در خاک‌های مورد مطالعه، میزان کربنات‌کلسیم نقش بسیار مهمی در جذب سرب داشت که می‌تواند به علت سطح فعال کربنات‌ها و همچنین مقدار زیاد آن باشد. واجذب انگل سرب جذب شده توسط خاک‌ها نشان داد که سرب پیوندهای قوی و برگشت‌ناپذیری در خاک تشکیل داده و به رفتار پسماندی این خاک‌ها دلالت داشت. ویژگی‌هایی مانند کربنات‌کلسیم فعال، درصد رس، CEC و کربن آلی، نقش مؤثری در مقدار جذب سرب داشتند.

۵۰ درصد سرب جذب شده رسید.

نتیجه‌گیری

داده‌های جذب و واجذب می‌توانند جهت برآوردن اثرات محیطی فلزات از منابع انسان پدید مانند استفاده مستمر کشاورزان از کودهای حاوی فلزات در زمین‌های کشاورزی بکار روند. پارامترهای جذب و واجذب سرب همبستگی معنی‌داری با ویژگی‌های خاک‌ها بویژه کربنات‌کلسیم فعال نشان داد. برای پارامترهای مدل فرونالیج مدل‌های رگرسیونی معنی‌داری به دست آمد. برای زیرگروه‌های مختلف

منابع

- 1- Allison L. E., and Modie C. D. 1962. Carbonates. part 2. Am. Soc. Agron. J. Madison. WI. 1379 pp.
- 2- Anderson P. R., and Christensen T. H. 1988. Distribution coefficients of Cd, Co, Ni and Zn in soils. Soil Sci. 39: 15- 22.
- 3- Appel C., and Ma L. 2002. Concentration pH and surface charge effect on cadmium and lead sorption in three tropical soils. J. Environ. Qual. 31: 581-589.
- 4- Biscaye P. E. 1965. Mineralogy and sedimentation of recent deep sea clay in the Atlantic Ocean and adjacent seas and oceans. Geology. Soc. Am. Bulletin. 76: 803-832.
- 5- Busineli M., Casciari F., Busineli D. and Gigliotti G. 2003. Mechanism of Pb sorption and desorption at some clays and goethite water interface. Agron. J. 23: 219-225.
- 6- Drouineau G. 1942. Dosage rapide du calcaire actif du sol; nouvelles donnees sur la separation et la nature des fractions calcaires. Ann. Agron. 12: 441-450.
- 7- Elkhatib E. A., Elshabingand G. M. and Balba A. M. 1991. Lead sorption in calcareous soils. Environ. Pollut. 69: 269-276.
- 8- Elrashidi M. A., and O'Connor G. A. 1982. Influence of solution composition on sorption of Zn by soils. Soil Sci. Soc. Am. Proc. J. 46: 1153-1158.
- 9- Gee G. H., and Bauder J. W. 1986. Particle size analysis. In: A. Klute, ed, Methods of soil Analysis. Part 2: Physical properties. SSSA. Madison. WI.
- 10- Griffin R. A., and Shimp N. F. 1976. Effect of pH on exchange adsorption or precipitation of lead from landfill leachates by clay minerals. Environ. Sci. Technol. 10: 1256-1261.
- 11- Harter R. D. 1991. Micro nutrients in soils. Micro nutrients in agriculture. Soil Sci. Wisconsin: P: 59-87.
- 12- Harter R. D., and Naidu R. 2001. An assessment of environmental and solution parameter impact on trace metal sorption by soils. Soil Sci. Soc. Am. Proc. J. 65: 597-612.
- 13- Kabata-Pendias A., and Pendias H. 1992. Trace elements in soils and plants. 2nd ed. CRC Press. Boca Raton. FL.
- 14- Kunze G. W. 1965. Pretreatment for mineralogical analysis. In C. A. Black (ed.) method of soil Analysis. Am. Soc. Agron. Madison. Wis. Agron. J. 9: 210-221.
- 15- Lair G. J., Gerzabek, M. H., Haberhaner, G., Jakusch, M., and Kirchmann, H. 2006. Response of the sorption behavior of Cu, Zn and Cd to different soil management. J. Plant Nutr. Soil Sci. 169: 60- 68.
- 16- Lindsay W. L. 1979. Chemical equilibria in soils. John Wiley and Sons. New York.
- 17- Martinez-Villegas N., Flores-Veles L. and Dominguez O. 2004. Sorption of lead in soil as a function of pH, as study case in Mexico. Chemosphere. 57: 1537-1542.
- 18- McBride M.B. 1980. Chemisorption of Cd on calcite surfaces soils. Soil Sci. Soc. Am. Proc. J. 44: 26-28.
- 19- McBride M.M. 1994. Environmental Chemistry of Soils. Oxford University Press. New York.
- 20- McLean J.E., and Bledsoe B.E. 1992. Behavior of Metals in Soils. Ground Water Issue. U.S. EPA. EPA/540/S-92/018.
- 21- Miner G.S., Gutierrez R., and King L.D. 1997. Soil factors affecting plant concentration of Cu, Zn and Cd on sludge amended soils. J. Environ. Qual. 26: 989-994.
- 22- Miretzky P., Munoz C., and Carrillo-Chavez A. 2007. A sandy loam soil as natural control for Pb contamination. Environ. Chem. Lett. 5: 131-136.
- 23- Moreno A.M., Quintana J.R., Perez L., and Parra J.G. 2005. Factors influencing lead sorption-desorption at variable added metal concentrations in Rhodoxeralfs. Chemosphere. 64: 758-763.
- 24- Nelson R.E., and Sommers L.E. 1982. Total carbon. Organic carbon and organic matter. In A. L. Page et al. (ed) Methods of soil analysis. Part2. 2nd. Agron. Monogr. 9. ASA and SSSA, Madison, WI. P: 539-579.

- 1297
- 25- Renella G., Adamo P., Bianco M.R., Landi L., Violante P., and Nannipieri P. 2004. Availability and speciation of cadmium added to a calcareous soil under various managements. *Eur. J. Soil Sci.* 55: 123-133.
 - 26- Rhoades J.D. 1982. Cation exchange capacity. In: A.L. Page, R.H. Miller, and D.R. Keeney (eds.) *Methods of soil analysis. Part 2. Agron. Monogr. 9*, Am. Soc. Agron., Madison, WI. p. 149-157.
 - 27- Santillan-Medrano J., and Jurinak J.J. 1975. The chemistry of lead and cadmium in soil: solid phase formation. *Soil Sci. Soc. Am. Proc.* 39: 851-856.
 - 28- Serano S., Martinez C.E., McBride M., and Hendershot W. 2000. Sorption of free lead by pedogenic oxides ferri hydrate and leaf compost. *Soil Sci. Soc. Am. Proc.* J. 64: 595-599.
 - 29- Shaheen S.M. 2009. Sorption and lability of cadmium and lead in different soils from Egypt and Greece. *Geoderma*.153: 61-68.
 - 30- Soldatini G.F., Riffaldi R. and Minzi R.L. 1976. Adsorption of Pb by soil. *Water Air. Soil Pollut.* 22: 110-180.
 - 31- Tiller K.G. 1989. Heavy metals in soils and their environmental significance. *Adv. Soil Sci.* 9: 113-142.
 - 32- Wan Zuhairi W.Y. 2000. An investigation of natural attenuation characteristic of natural clay soils from south Wales and their potential use as engineered clay linear. Thesis Doctor of Philosophy. Cardiff University.
 - 33- Wu Z., Gu Z., Wang X., Evans L., and Guo H. 2003. Effects of organic acids on adsorption of lead on to montmorillonite, goetite and humic acid. *Environ. Pollut.*121: 469-475.
 - 34- Yuan G., and Lavkulich L.M. 1997. Sorption behavior of Cu, Zn and Cd in response to simulated changes in soil properties. *Commun. Soil Sci. Plant Anal.* 28: 571-587.
 - 35- Zi-gang L., Chuan-zhou B., and Xiao-lei J. 2007. Characteristic of Cd sorption in the copper tailings wasteland soil by amended dissolved organic matter from fresh manure and manure compost. *Afr. J. Biotechnol.* 6 (3): 227-234.



Sorption and Desorption of Lead in some Calcareous Soils of Western Azerbaijan Province

B. Rajabi¹- H. Khodaverdiloo^{2*}- A. Samadi³- M.H. Rasouli Sadaghiani⁴

Received:29-9-2010

Accepted:23-7-2011

Abstract

The availability of heavy metals in the soil is related to their partitioning between solution and solid phases and expressed by sorption isotherm. Twenty surface soil samples (0-30 cm) belonging to five soil subgroups were taken from agricultural regions of Western Azerbaijan province. The sorption isotherms of Pb were determined by equilibrating the soil with solutions containing 0, 100, 300, 500, 700, 900, 1100 and 1300 mg Pb L⁻¹ from Pb-nitrate source in 0.01 M NaNO₃ as background electrolyte. Illite was the dominant clay mineral in Typic Calcixerpts (TC), Typic Haploxerpts (TH) and Typic Endoaquepts (TE) whereas in Vertic Calcixerpts (VC) and Vertic Endoaquepts (VE) the clay mineralogy was dominated by smectite. Active and equivalent calcium carbonate and clay contents ranged from 4.3 to 7.8%, 6.2 to 16% and 31 to 45%, respectively. The linear, Langmuir and Freundlich isotherm equations were fitted to the experimental data of Pb sorption and desorption. Both the Freundlich ($0.98 < R^2 < 0.70$) and linear ($0.94 < R^2 < 0.51$) approaches described the Pb sorption and desorption data well, and the Langmuir model ($0.99 < R^2 < 0.71$) was well fitted to some of the soils, mostly, those soils with low CCE content. A significant positive correlation was found between CCE and the Langmuir adsorption maxima (b) ($r = 0.84, P \leq 0.01$) and also the Freundlich constant a ($r = 0.78, P \leq 0.001$). The soil partition coefficient (K_{SP}) showed a positive correlation ($r = 0.55, P \leq 0.05$) with ACCE. Stepwise regression showed that 62% of variation in lead sorption was accounted for CCE content. However, the relatively high pH (7.0 to 8.0) of the experimental soils and a presence of relatively high values of free and active carbonate in the soils along with the large sorption capacity of these soils suggest the possibility of solid phase precipitation as PbCO₃. A strong and irreversible binding of Pb in the soils were recorded. Results showed that the CCE and clay contents were of more importance in controlling the sorption of Pb in the studied soils.

Keywords: Sorption, Clay, Bioavailability, Lead, Calcium carbonate, Desorption

1,2,3,4- MSc Student, Assistant Professor, Associate Professor and Assistant Professor, Department of Soil Science, Faculty of Agriculture, Urmia University, Respectively

(*-Corresponding Author Email: h.khodaverdiloo@urmia.ac.ir)